

Desenvolvimento do Firmware de Controle de um Elevador Controlado por Bluetooth

Guilherme Costa, Jordano dos Santos, Thalís Ianzer, Victor Cruz

Palavras-chave: Firmware, Eletrônica Embarcada, PIC16F, Microcontrolador, Periféricos.

1 INTRODUÇÃO

A eletrônica embarcada tem desempenhado um papel fundamental na automação de diversos sistemas, proporcionando maior eficiência e controle preciso em várias áreas da tecnologia moderna. Nesse contexto, o presente relatório apresenta o desenvolvimento de um firmware de controle para um elevador controlado por Bluetooth, utilizando o microcontrolador PIC16F1827. O objetivo principal deste trabalho foi implementar um firmware embarcado capaz de controlar um elevador de forma remota, utilizando o Bluetooth como interface de comunicação.



Fig. 1: Protótipo do elevador para testes

2 METODOLOGIA

O Projeto foi desenvolvido em linguagem C, utilizando o ambiente de desenvolvimento (IDE) *MPLABX IDE* da microchip, a documentação foi gerada pelo DOxygen.

2.1 Divisão de Tarefas e Integração

Cada membro do grupo foi responsável por uma parte do projeto, desta forma, foi dividido:

Guilherme Costa: responsável pela comunicação SPI e teste relativos;

Jordano dos Santos: responsável pelo controle do motor e teste relativos;

Thalís Ianzer: responsável pela aquisição e transformação

de dados e teste relativos;

Victor Cruz: responsável pela comunicação UART e teste relativos;

Apesar das divisões todos os integrantes auxiliaram no desenvolvimento de outras partes conforme a pessoa responsável por ela fosse necessitando, por tanto todos os integrantes participaram do desenvolvimento do projeto como um todo.

Para que trabalhássemos de forma conjunta e organizada, optamos pelo uso da ferramenta de versionamento de códigos Git. Dessa forma, criamos um repositório no GitHub para hospedar nosso trabalho e suas versões, além disso, fizemos o uso de branches para cada funcionalidade que seria implementada no projeto.

2.2 Sensores magneticos

Para identificar que o elevador alcançou os andares utilizou-se as interrupções ligadas aos pinos do microcontrolador, para as funções vinculadas aos sensores S1 e S2 optou pelas interrupções IOC, por estarem conectados a pinos do *PORTB* que possuem esse periférico vinculado. Já para os sensores S3 e S4, optou-se pela interrupções dos comparadores analógicos por estarem conectados ao *PORTA*.

Os sensores estão conectados a resistores de pull-up, interno a pic no caso de S1 e S2, por tanto todas as interrupções são ativadas em borda de descida.

2.3 Sensor de temperatura

Para garantir um bom funcionamento do motor, foi usado um sensor que mede a temperatura na ponte H que controla o motor. Esse valor é obtido e convertido de 0.0 à 99.9 antes de cada envio de dados por Bluetooth.

2.4 Comunicação SPI

A comunicação foi desenvolvida em 3 partes: atualização da matriz de dados, conversão da matriz de dados para o formato exigido pela Matriz de LED, transmissão da Nova matriz por SPI. Sendo cada parte desenvolvida em uma função diferente.

2.4.1 Atualização Matriz de Dados

A matriz de dados é a variável que continha os dados a serem enviados para a matriz de LED, que correspondem as colunas da matriz de LED, nela deveriam ser mostrado: o andar atual; O sentido de movimento do elevador; Os andares restantes no trajeto atual.

Para atualização dessa variável utilizou-se as funções de interrupção dos sensores. Ao alcançar o andar a função de interrupção já atualiza todas as colunas da matriz de Dados e chama a função de conversão da matriz de Dados.

2.4.2 Conversão da Matriz de dados para o formato da Matriz de LED

Para transmissão da Matriz de Dados é necessário além de enviar além dos dados da coluna da Matriz, deve ser enviando também a posição da coluna de dados. Essa conversão é feita na função Matriz update, que envia para a função de transmissão a posição da coluna e o seu dados de forma unitária até enviar as 8 colunas.

```

1 void matrixUpdate() {
2     uint8_t data[2];           // Buffer
3     para tx spi
4     if (flip_matrix) {         // No
5         Lab Remoto a imagem aparece invertida na
6         horizontal
7         for(uint8_t i=8;i>0;i--){           // Endere
8             ?a digitos 7..0
9             data[0] = i;                   // Digito
10            i da Matriz
11            data[1] = MatrixLed[i-1];       // Valor do
12            digito i da Matriz
13            txSpi(data, 2);                 // Tx valores dos
14            d?gitos dig para as matrizes
15        }
16    } else {
17        uint8_t index = 7;                 //Indice
18        da matrix de dados
19        for(uint8_t i=1;i<9;i++){           // Endere
20            ?a digitos 0..7
21            data[0] = i;                   // Digito
22            i da Matriz
23            data[1] = MatrixLed[index];     // Valor
24            do digito i da Matriz
25            txSpi(data, 2);                 // Tx valores dos
26            d?gitos dig para as matrizes
27            index--;
28        }
29    }
30 }

```

Listing 1: Código Atualização da matriz

2.4.3 Transmissão dos dados

A transmissão dos dados é feita a partir da função SPI1 ExchangeBlock() gerada biblioteca do MPLABX IDE, que recolhe os dados já formatados e o tamanho do vetor e envia para a matriz de LED por meio de SPI

```

1 void txSpi( uint8_t *data, size_t dataSize) {
2     CS_SetLow();           // Ativa CS
3     SPI1_ExchangeBlock(data, dataSize); // Tx
4     CS_SetHigh();          // Desativa CS
5 }

```

Listing 2: Código Transmissão de Dados

2.5 Comunicação UART

A comunicação EUSART é dividida em duas partes, uma de recepção de dados e outra de envio de dados. Ambos são feitos em ASCII. Toda comunicação está sendo feita com um Baud Rate de 19200 BPS, sendo, para a recepção, 1 byte de início ('\$'), 2 bytes de dados (números de 0 a 3) e 1 byte de parada (0x0D). Para a aquisição desses dados foi feita uma máquina de estados como visto no código a seguir:

```

1 switch(state) {
2     case START:
3         if(rxValue == '$') {
4             state = FIRST_NUM;
5         }
6         break;
7     case FIRST_NUM:
8         if(isValidFloor(rxValue)) {
9             oTemp = rxValue - 0x30;
10            state = SECOND_NUM;
11        } else {
12            state = START;
13        }
14        break;
15     case SECOND_NUM:
16         if(isValidFloor(rxValue)) {
17             dTemp = rxValue - 0x30;
18             state = CR;
19         } else {
20             state = START;
21         }
22        break;
23     case CR:
24         if(rxValue == 0x0D) {
25             origem = oTemp;
26             destino = dTemp;
27             // Chamar alguma funcao
28         }
29         state = START;
30        break;
31     default:
32         state = START;
33 }

```

Listing 3: Código Transmissão de Dados

Sendo assim, ele apenas guarda as variáveis de origem e destino do elevador quando recebe o carriage return e na ordem certa, senão ele volta a aguardar o '\$'.

Para o envio de dados, foi utilizado a interrupção do timer0 para que os dados fossem enviados a cada 300ms. Para que todos os dados fossem enviados corretamente, teve que manter sempre comunicação com quem estava fazendo as funções da interrupção do CCP4. Assim, foi possível fazer os cálculos da altura e da velocidade.

```

1 altura = (1.5 * pulsoEncoder); // 180mm/120
2 pulsos
3 velocidadeMotor = (abs(altura - aux_altura) /
4 300.f) * 1000; // (mm/pulsos) / (tempo(s))
5 aux_altura = altura; // Salva a ltima
6 altura
7
8 velocidade = (uint16_t)(velocidadeMotor * 10);
9 // Ajustando o valor da velocidade para ser
10 enviado
11 temperatura = (ADC_GetConversion(2) / 1024.f) *
12 999; // Calcula a temperatura

```

Listing 4: Cálculo da altura e velocidade

A função que envia as informações também converte os números para BCD por meio da função *bin2bcd()* para que elas sejam enviadas em ASCII.

```

1 void sendInfo(){
2
3     bcd16_t bcd;
4     uint16_t velocidade;
5
6     velocidade = (uint16_t)(velocidadeMotor * 10);
7     // Ajustando o valor da velocidade para ser
8     // enviado
9     temperatura = (ADC_GetConversion(2) / 1024) *
10     999; // Calcula a temperatura
11
12     EUSART_Write('$'); // Caracter inicial
13     EUSART_Write(0x30 + destino); // Envia o andar
14     // destino em ASCII
15     EUSART_Write(0x2C); // Envia a virgula
16     EUSART_Write(0x30 + andarAtual); // Envia o
17     // andar atual em ASCII
18     EUSART_Write(0x2C); // Envia a virgula
19     EUSART_Write(0); // Envia o estado atual do
20     // motor
21     EUSART_Write(0x2C); // Envia a virgula
22     // Enviando a altura em mm
23     bcd.v = bin2bcd(altura);
24     EUSART_Write(bcd.num2 + 0x30); // Envia o
25     // primeiro dígito
26     EUSART_Write(bcd.num3 + 0x30); // Envia o
27     // segundo dígito
28     EUSART_Write(bcd.num4 + 0x30); // Envia o
29     // terceiro dígito
30     EUSART_Write(0x2C); // Envia a virgula
31     // Enviando a velocidade em mm/s
32     bcd.v = bin2bcd(velocidade);
33     EUSART_Write(bcd.num2 + 0x30); // Envia o
34     // primeiro dígito
35     EUSART_Write(bcd.num3 + 0x30); // Envia o
36     // segundo dígito
37     EUSART_Write(bcd.num4 + 0x30); // Envia o
38     // terceiro dígito
39     EUSART_Write(0x2E); // Envia o ponto
40     EUSART_Write(bcd.num4 + 0x30); // Envia o dígito
41     // decimal
42     EUSART_Write(0x2C); // Envia a virgula
43     // Enviando a temperatura em C
44     bcd.v = bin2bcd(temperatura);
45     EUSART_Write(bcd.num1 + 0x30); // Envia o
46     // primeiro dígito
47     EUSART_Write(bcd.num2 + 0x30); // Envia o
48     // segundo dígito
49     EUSART_Write(bcd.num3 + 0x30); // Envia o
50     // terceiro dígito
51     EUSART_Write(0x2E); // Envia o ponto
52     EUSART_Write(bcd.num4 + 0x30); // Envia o dígito
53     // decimal
54     EUSART_Write(0x0D); // Envia o carriage return
55 }

```

Listing 5: Envio das informações do elevador

2.6 Controle do Motor

O controle do motor foi feito a partir de uma ponte H, que por meio do microcontrolador recebia o sinal de PWM e um valor binário para controlar sua direção. O sinal do PWM foi definido para operar na frequência de 3.9kHz e com ciclo útil de 50%. O acionamento do motor foi feito por meio da Interrupção do *Timer 4*, com período de 500ms. O acionamento foi otimizado por meio do ordenamento dos andares de destino e origem, para que o elevador faça o trajeto da maneira mais eficaz possível.

3 SIMULAÇÕES

3.1 Transmissão SPI

A transmissão SPI não pode ser simulada pelo MPLABX IDE por tanto para testá-la foi adicionado a *main* a chamada das funções de interrupção dos sensores separadas por um *delay* para ser possível a observação de cada estado isoladamente

```

1 while (1)
2 {
3     // Add your application code
4     chegadaS1();
5     __delay_ms(1000);
6     chegadaS2();
7     __delay_ms(1000);
8     chegadaS3();
9     __delay_ms(1000);
10    chegadaS4();
11 }

```

Listing 6: Código Atualização da matriz

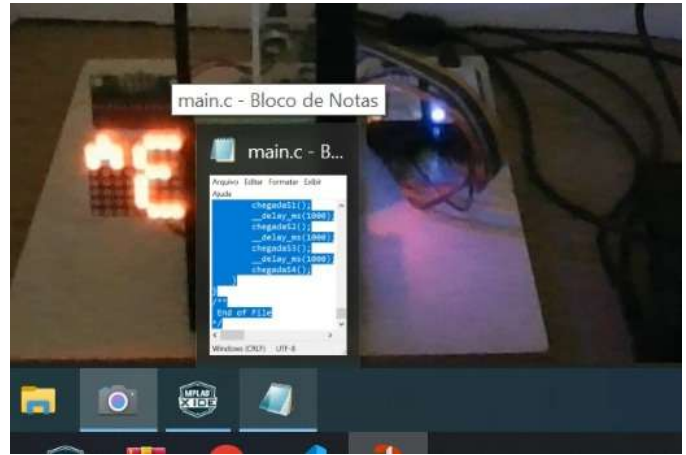


Fig. 2: Teste SPI (função *chegadaS4()*)

A figura 2 mostra o momento a transmissão dos dados a partir da função *chegadaS4()*, acionada quando o elevador chega no último andar, exemplificando o funcionamento da matriz de LED

3.2 Transmissão USART e tratamento de dados

Para simular o recebimento de dados utilizou-se o estímulo síncrono *register injection* e para validação se os dados estavam sendo adquiridos corretamente utilizou-se o *watches* RCREG que guarda o byte de entrada do RX.

Para simulação da Transmissão utilizou-se a janela *watches*, na qual se alterava o valor das variáveis a serem transmitidas manualmente se observava se elas estavam sendo transmitidas corretamente a partir do registrador TXREG, que armazena o valor a ser transmitido pelo pino TX.

A figura 4 mostram os registradores sendo alterados durante a simulação

3.3 Controle Motor

Para simulação do controle do motor foi utilizado o modo debug do MPLAB sendo as entradas simuladas por estímulos. Para tal foram utilizados os estímulos síncronos

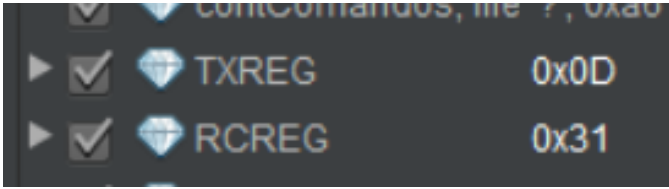


Fig. 3: Registradores RCREG e TXREG no tempo 1

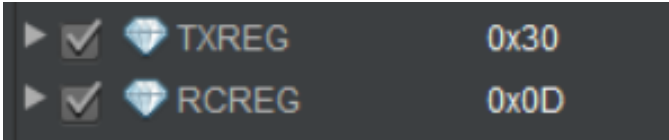


Fig. 4: Registradores RCREG e TXREG no tempo 2

do *register injection* para simular as entradas do USART e os estímulos assíncronos de pulso em 0 para simular as entradas dos sensores.

A validação dos resultados foi feita a partir da janela *Logic Analyser* do MPLAB, que permite observar em função do tempo a variação do sinal dos registradores internos da Pic. Caso o registrador CCP3, ligado ao pino RA3, estivesse gerando a onda PWM assumisse que o motor estaria se movendo, ao mesmo tempo caso o pino RA7 estivesse em nível lógico alto, esse movimento seria ascendente, e se estivesse em baixo, descentente.

Para validação das paradas do elevador observou-se pela janela *watches* se as variáveis de controle de trajeto a **destinoDesc** e **destinoSub** estavam sendo apagadas corretamente ao passar pelo andares que escolhidos e se o PWM estava sendo interrompido e sendo reacionado corretamente. Após essas condições serem cumpridas, pode-se assumir que o motor estava realizando os trajetos corrente.

A figura 5 demonstra o comportamento do PWM e do pino de direção ao atingir a interrupção do pino S3 e alterar seu movimento para descida, parando o motor por um tempo e reativando ele com o sentido descentente.

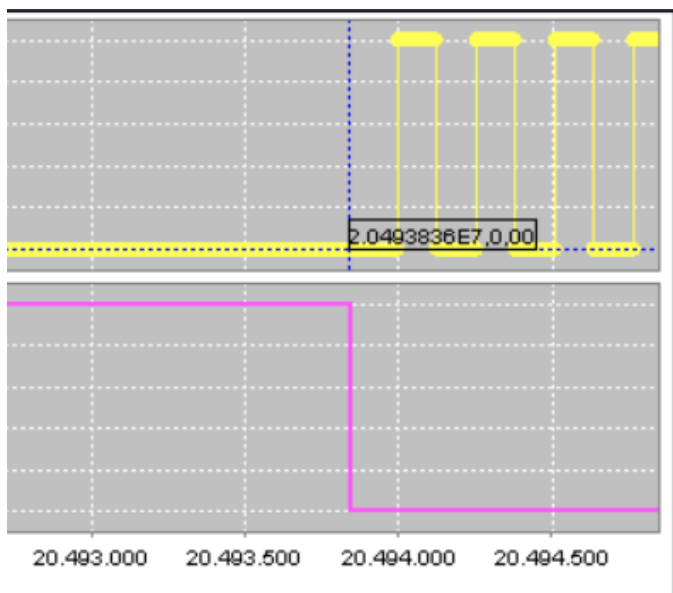


Fig. 5: iniciando descida

4 CONCLUSÃO

A partir das simulações o elevador funcionou da forma esperada, cumprindo todos os requisitos solicitados pelo roteiro, enviando e recebendo dados, calculando o trajeto a se fazer e respeitando os tempos de parada. Ao aplicar os estímulos assíncronos simulando as chegadas as funções apagaram os destinos corretamente e definiram a direção correta de movimento do motor, podendo-se assim assumir que na implementação do código na *Pic16F1827* ocorreu como o desejado.

APPENDIX A

Diretório do firmware: <https://github.com/Projeto-final-EE>

APPENDIX B

REFERENCIAS BIBLIOGRÁFICAS

url:<http://ww1.microchip.com/downloads/en/devicedoc/41391d.pdf>

REFERENCES

- [1] <http://www.newtoncbraga.com.br/index.php/robotica/5169-mec071a>
- [2] <https://toshiba.semicon-storage.com/eu/semiconductor/product/motor-driver-ics/brushed-dc-motor-driver-ics/detail.TB6612FNG.html>
- [3] <http://www.newtoncbraga.com.br/index.php/artigos/54-dicas/6083-art762.html>
- [4] <https://datasheets.maximintegrated.com/en/ds/MAX7219-MAX7221.pdf>
- [5] <https://www.asciitable.com/>
- [6] <https://www.olimex.com/Products/Components/RF/BLUETOOTH-SERIAL-HC-06/resources/hc06.pdf>